

УДК 678.664 : 667.281.5

# Азосодержащие фторированные в ядро гидроксиэтилированные диамины – мономеры для синтеза полимеров с нелинейно-оптическими свойствами

**A.B. Сидоренко, И.М. Ткаченко, О.В. Шекера, В.В. Шевченко**

Институт химии высокомолекулярных соединений НАН Украины  
48, Харьковское шоссе, Киев, 02160, Украина

*Диазотированием фторсодержащих изомерных диаминов с последующим азосочетанием с 2-[этил(фенил)амино]этанолом синтезированы гидроксиэтилированные диамины, совмещающие в своем составе азогруппы и фрагменты тетрафторбензола и октафторбифенила. Рассчитаны значения их молекулярной гиперполяризуемости и установлена связь между химическим строением и нелинейно-оптическими свойствами фторсодержащих азохромофоров.*

**Ключевые слова:** мономеры, азохромофоры, молекулярная гиперполяризуемость, азополимеры, нелинейная оптика.

Синтез новых мономеров с необходимыми значениями молекулярной гиперполяризуемости ( $\beta$ ) является актуальной задачей при создании на их основе различных типов полимеров с улучшенными нелинейно-оптическими (НЛО) характеристиками, в частности с высокими значениями коэффициента генерации второй гармоники –  $d_{33}$  (КГВГ) [1–3]. Среди реакционноспособных бифункциональных соединений, используемых для этой цели, наиболее широко применимы азосодержащие мономеры типа  $D\text{-}\pi\text{-}A$  [1, 4, 5]. Благодаря наличию электронодонорных ( $D$ ) и электроноакцепторных ( $A$ ) групп, а также азогрупп, как наиболее эффективных  $\pi$ -электронных мостиков в цепях сопряжения, в их структуре реализуется возможность внутримолекулярного асимметричного распределения заряда между донором и акцептором электронов [1, 4, 5]. В результате этого такие мономеры обладают оптимальными значениями  $\beta$  и являются основными мономерами при синтезе полимеров с НЛО свойствами второго порядка (генерация второй гармоники) [1].

Введение хромофорных фрагментов в полимерную матрицу осуществляют преимущественно в боковую цепь [1–4, 6–12]. В случае полимеров, получаемых методом поликонденсации, используют бифункциональные мономеры, обе реакционноспособные группы которых входят в электронодонорную составляющую хромофора [1–4, 6–10]. С этой целью широко применяют азохромофоры указанной электронной конфигурации на основе Дисперсного Красного 19 (DR-19) и его производных [1, 10, 13] и так называемого  $Y$ -типа, имеющего электронную конфигурацию  $(D)_2\text{-}\pi\text{-}A$  [1, 8, 9]. Для синтеза полимеров с азогруппами

в основной цепи главным образом используют бифункциональные азомономеры, в которых одна реакционноспособная группа входит в состав электроноакцепторной части хромофора, а вторая – электронодонорной [1, 14–19]. Особый интерес при синтезе полимеров с хромофорными группами в основной цепи вызывают так называемые мономеры  $V$ -типа [20]. Особенностью таких хромофоров является расположение электроноакцепторной составляющей между электронодонорными группами, которые в свою очередь содержат реакционноспособные центры мономера (электронная система типа  $D\text{-}\pi\text{-}A\text{-}\pi\text{-}D$ ) [20].

Местоположение хромофорных групп в полимерной матрице существенным образом отражается на НЛО свойствах полимеров. Так, полимеры с хромофорами в боковой цепи более склонны к созданию асимметричной структуры хромофорных диполей во время полинг-процесса (упорядочение электрических диполей хромофорных фрагментов полимера в определенном порядке под воздействием внешнего электрического поля) [1]. Следствием этого являются более высокие показатели КГВГ. Полимеры с хромофорами в основной цепи более склонны к сохранению асимметричной структуры ориентированных дипольных ансамблей, благодаря чему сохраняют оптическую нелинейность на протяжении большего времени при высоких температурах, что открывает возможность создания на их основе НЛО сред с увеличенным сроком эксплуатации [1].

Помимо указанного регулирования НЛО свойств полимеров на макромолекулярном уровне не менее важной задачей является оптимизация значений  $\beta$  исходных хромофорных мономеров [1, 21, 22]. На

данный момент известно несколько подходов, направленных на оптимизацию молекулярной гиперполяризуемости бифункциональных хромофоров. Прежде всего, это изменение строения электроноакцепторной (*A*) [1, 8–10, 12, 23–25] и электронодонорной групп (*D*) [1, 8–12], введение в состав хромофоров изолирующих групп (Suitable Isolation Groups) с целью уменьшения межмолекулярного диполь–дипольного взаимодействия хромофорных фрагментов в полимерной матрице при сохранении их асимметричной ориентации [1, 10, 14–18]. Одним из наиболее важных подходов в решении этой задачи является также увеличение длины сопряжения в хромофоре [1, 5, 26], который может быть реализован путем введения в состав хромофоров нескольких азогрупп [1, 4].

В настоящей работе предложен способ введения в состав бифункциональных мономеров двух азогрупп, и впервые получены фторсодержащие гидроксиэтилированные диамины *V*-типа с удлиненной цепью сопряжения. В них гидроксильные группы расположены в двух электронодонорных составляющих, соединенных азосодержащей цепью сопряжения с электроноакцепторными фрагментами тетрафторбензола (ТФБ) или октафторбифенила (ОФБ). Помимо этого наличие атомов фтора предопределяет низкие оптические потери и показатель преломления, а также улучшение термостабильности синтезируемых полимеров [27].

Можно ожидать, что изменение содержания количества атомов фтора фторированной в ядро электроноакцепторной составляющей (ТФБ и ОФБ), а также изомерия в расположении азогрупп в составе данных мономеров позволит регулировать НЛО свойства как самих азохромофоров, так и полимеров на их основе.

**Экспериментальная часть.** Исходные 4,4'-{[(2,3,5,6-тетрафторбенzen-1,4-диил)-бис-(окси)]дианилин (ДА-I), 3,3'-[(2,3,5,6-тетрафторбенzen-1,4-диил)-бис-(окси)]дианилин (ДА-II), 2,2'-[(2,3,5,6-тетрафторбенzen-1,4-диил)-бис-(окси)]дианилин (ДА-III), 4,4'-[(2,2',3,3',5,5',6,6'-октафторбифенил-4,4'-диил)-бис-(окси)]дианилин (ДА-IV), 3,3'-[(2,2',3,3',5,5',6,6'-октафторбифенил-4,4'-диил)-бис-(окси)]дианилин (ДА-V) и 2,2'-[(2,2',3,3',5,5',6,6'-октафторбифенил-4,4'-диил)-бис-(окси)]дианилин (ДА-VI) синтезировали в соответствии с [28]. 2-[этил(фенил)амино]этанол (96%, “Acros Organics”) применяли без предварительной очистки.  $\text{NaNO}_2$ ,  $\text{HCl}$  (36%),  $\text{Na}_2\text{CO}_3$  и  $\text{NaCl}$  использовали марки “х.ч.”.

**Синтез 2,2'-{[(2,3,5,6-тетрафторбенzen-1,4-диил)-бис-[оксибенzen-4,1-диил(*E*)диазен-2,1-диилбенzen-4,1-диил(этилимино)]}диэтанола (ГДА-I).** На первой стадии (диазотирование) к охлажденной до температуры 0–5 °C смеси 1,00 г (0,0027 моль) диамина (ДА-I) в 3,01 мл 18 %-ной (0,0165 моль)  $\text{HCl}$  ( $\rho = 1,09 \text{ г/см}^3$ ) при интенсивном перемешивании в течение 2 ч при капывании 2,2 мл 2,5 М (0,0055 моль) раствора

$\text{NaNO}_2$ . Окончание реакции определяют пробой на азотистую кислоту по иодкрохмальной бумаге. На второй стадии (азосочетание) к раствору 0,91 г (0,9 мл) 2-[этил(фенил)амино]этанола (0,0055 моль) в 5,8 мл 1н (0,0055 моль)  $\text{HCl}$  медленно, при постоянном перемешивании, поддерживая температуру реакции 5–10 °C, добавляли раствор диазониевой соли, приготовленной на первой стадии. Окончание реакции азосочетания, которую проводили в кислой среде, определяли «пробой на вытек». После завершения реакции полученный ГДА-I выделяли нейтрализацией  $\text{Na}_2\text{CO}_3$  с последующим высыпыванием  $\text{NaCl}$ , отфильтровывали, промывали водой и перекристаллизовывали из этилового спирта. Выход 65%.  $T_{\text{пл.}} = 180 - 183 \text{ }^\circ\text{C}$ .  $^1\text{H}$  ЯМР,  $\delta$ , м.д.: 7,82 (д, 4Н,  $J = 8,82 \text{ Гц}$ , Ar-H); 7,78 (д, 4Н,  $J = 8,82 \text{ Гц}$ , Ar-H); 7,4 (д, 4Н,  $J = 8,82 \text{ Гц}$ , Ar-H); 6,84 (д, 4Н,  $J = 8,82 \text{ Гц}$ , Ar-H); 4,83 (т, 2Н,  $J = 4,67, \text{ OH}$ ), 3,61 (кв, 4Н,  $J = 4,67, \text{ CH}_2$ ); 3,5 (м, 8Н,  $\text{CH}_2$ ); 1,15 (т, 6Н,  $J = 6,75 \text{ Гц}$ ,  $\text{CH}_3$ ).  $^{19}\text{F}$  ЯМР,  $\delta$ , м.д.: -156,65 (с, 4F, Ar-F). ИК-спектр ( $\text{см}^{-1}$ ): 3371 (OH); 3072  $\nu(\text{C}-\text{H}_{\text{аром}})$ ; 2966  $\nu_{\text{as}}(\text{CH}_3)$ ; 2926  $\nu_{\text{as}}(\text{CH}_2)$ ; 2872  $\nu_{\text{s}}(\text{CH}_3)$ ; 1392 (CH); 1601, 1512, 1489 (Ar); 1005, 991 (C-F). УФ-спектр:  $\lambda_{\text{макс.}} = 432 \text{ нм}$ .

**Синтез 2,2'-{[(2,3,5,6-тетрафторбенzen-1,4-диил)-бис-[оксибенzen-3,1-диил(*E*)диазен-2,1-диилбенzen-4,1-диил(этилимино)]}диэтанол (ГДА-II).** Этот хромофор получали аналогично мономеру ГДА-I, используя ДА-II вместо ДА-I. Выход 85 %.  $T_{\text{пл.}} = 185 - 188 \text{ }^\circ\text{C}$ .  $^1\text{H}$  ЯМР,  $\delta$ , м.д.: 7,78 (д, 4Н,  $J = 7,33 \text{ Гц}$ , Ar-H); 7,59–7,55 (м, 6Н, Ar-H); 7,29 (с, 2Н, Ar-H); 6,84 (д, 4Н,  $J = 6,36 \text{ Гц}$ , Ar-H); 4,79 (с, 2Н, OH); 3,61 (уш.с., 4Н,  $\text{CH}_2$ ); 3,51 (м, 8Н,  $\text{CH}_2$ ); 1,16 (уш.с., 6Н,  $\text{CH}_3$ ).  $^{19}\text{F}$  ЯМР,  $\delta$ , м.д.: -155,56 (с, 4F, Ar-F). ИК-спектр ( $\text{см}^{-1}$ ): 3292 (OH); 3067  $\nu(\text{C}-\text{H}_{\text{аром}})$ ; 2965  $\nu_{\text{as}}(\text{CH}_3)$ ; 2924  $\nu_{\text{as}}(\text{CH}_2)$ ; 2870  $\nu_{\text{s}}(\text{CH}_3)$ ; 2854  $\nu_{\text{s}}(\text{CH}_2)$ ; 1394 (CH); 1601, 1512, 1499 (Ar); 1018, 993 (C-F). УФ-спектр:  $\lambda_{\text{макс.}} = 440 \text{ нм}$ .

**Синтез 2,2'-{[(2,3,5,6-тетрафторбенzen-1,4-диил)-бис-[оксибенzen-2,1-диил(*E*)диазен-2,1-диилбенzen-4,1-диил(этилимино)]}диэтанол (ГДА-III).** Этот хромофор получали аналогично мономеру ГДА-I, используя ДА-III вместо ДА-I. Выход 82 %.  $T_{\text{пл.}} = 147 - 150 \text{ }^\circ\text{C}$ .  $^1\text{H}$  ЯМР,  $\delta$ , м.д.: 7,58 (м, 6Н, Ar-H); 7,34 (т, 2Н,  $J = 6,36 \text{ Гц}$ , Ar-H); 7,26 (т, 2Н,  $J = 6,85 \text{ Гц}$ , Ar-H); 7,15 (д, 2Н,  $J = 6,36 \text{ Гц}$ , Ar-H); 6,74 (д, 4Н,  $J = 5,38 \text{ Гц}$ , Ar-H); 4,83 (с, 2Н, OH); 3,58 (уш.с., 4Н,  $\text{CH}_2$ ); 3,47 (м, 8Н,  $\text{CH}_2$ ); 1,11 (уш.с., 6Н,  $\text{CH}_3$ ).  $^{19}\text{F}$  ЯМР,  $\delta$ , м.д.: -156,78 (с, 4F, Ar-F). ИК-спектр ( $\text{см}^{-1}$ ): 3393 (OH); 3072  $\nu(\text{C}-\text{H}_{\text{аром}})$ ; 2972  $\nu_{\text{as}}(\text{CH}_3)$ ; 2926  $\nu_{\text{as}}(\text{CH}_2)$ ; 2874  $\nu_{\text{s}}(\text{CH}_3)$ ; 1394 (CH); 1600, 1512, 1501 (Ph); 1003, 995 (C-F). УФ-спектр:  $\lambda_{\text{макс.}} = 442 \text{ нм}$ .

**Синтез 2,2'-{[(2,2',3,3',5,5',6,6'-октафторбифенил-4,4'-диил)-бис-[оксибенzen-4,1-диил(*E*)диазен-2,1-диилбенzen-4,1-диил(этилимино)]}диэтанол (ГДА-IV).** Этот хромофор получали аналогично мономеру ГДА-I, используя ДА-IV вместо ДА-I. Выход 74 %.  $T_{\text{пл.}} = 169 - 171 \text{ }^\circ\text{C}$ .  $^1\text{H}$  ЯМР,  $\delta$ , м.д.: 7,83 (д, 4Н,  $J = 8,31 \text{ Гц}$ ,

Ar-H); 7,77 (д, 4H,  $J = 8,31$  Гц, Ar-H); 7,41 (д, 4H,  $J = 8,8$  Гц, Ar-H); 6,84 (д, 4H,  $J = 8,8$  Гц, Ar-H); 4,83 (т, 2H,  $J = 4,89$  Гц, OH); 3,61 (кв, 4H,  $J = 4,9$  Гц, CH<sub>2</sub>); 3,5 (м, 8H, CH<sub>2</sub>); 1,15 (т, 6H,  $J = 6,85$  Гц, CH<sub>3</sub>). <sup>19</sup>F ЯМР,  $\delta$ , м.д.: -136,53 (д, 4F, Ar-F); -153,73 (д, 4F, Ar-F). ИК-спектр (см<sup>-1</sup>): 3383 (OH); 3072,  $\nu$ (C-H<sub>аром.</sub>); 2972  $\nu$ <sub>as</sub>(CH<sub>3</sub>); 2930  $\nu$ <sub>as</sub>(CH<sub>2</sub>); 2876  $\nu$ <sub>s</sub>(CH<sub>3</sub>); 1394 (CH); 1599, 1514, 1487 (Ph); 1003, 980 (C-F). УФ-спектр:  $\lambda_{\max} = 418$  нм.

**Синтез 2,2'-{(2,2',3,3',5,5',6,6'-октафторбиフェニл-4,4'-диил)-бис-[оксибензен-3,1-диил(Е)диазен-2,1-диилбенzen-4,1-диил(этилимино)]}диэтанол (ГДА-I).** Этот хромофор получали аналогично мономеру ГДА-I, используя ДА-V вместо ДА-I. Выход 93 %.  $T_{\text{пл.}} = 174\text{--}177$  °С. <sup>1</sup>H ЯМР,  $\delta$ , м.д.: 7,77 (д, 4H,  $J = 5,87$  Гц, Ar-H); 7,62–7,57 (м, 6H, Ar-H); 7,32 (с, 2H, J, Ar-H); 6,84 (д, 4H,  $J = 6,84$  Гц, Ar-H); 4,83 (с, 2H, OH); 3,6 (уш. с., 4H, CH<sub>2</sub>); 3,5 (уш. с., 8H, CH<sub>2</sub>); 1,15 (уш. с., 6H, CH<sub>3</sub>). <sup>19</sup>F ЯМР,  $\delta$ , м.д.: -137,46 (д, 4F, Ar-F); -153,11 (д, 4F, Ar-F). ИК-спектр (см<sup>-1</sup>): 3400 (OH); 3071  $\nu$ (C-H<sub>аром.</sub>); 2957  $\nu$ <sub>as</sub>(CH<sub>3</sub>); 2928  $\nu$ <sub>as</sub>(CH<sub>2</sub>); 2874  $\nu$ <sub>s</sub>(CH<sub>3</sub>); 1396 (CH); 1599, 1514, 1489 (Ph); 1001, 980 (C-F). УФ-спектр:  $\lambda_{\max} = 426$  нм.

**Синтез 2,2'-{(2,2',3,3',5,5',6,6'-октафторбиフェнил-4,4'-диил)-бис-[оксибензен-2,1-диил(Е)диазен-2,1-диилбенzen-4,1-диил(этилимино)]}диэтанол (ГДА-VI).** Этот хромофор получали аналогично мономеру ГДА-I, используя ДА-VI вместо ДА-I. Выход 84 %.  $T_{\text{пл.}} = 145\text{--}148$  °С. <sup>1</sup>H ЯМР,  $\delta$ , м.д.: 7,58 (м, 6H, Ar-H); 7,35 (т, 2H,  $J = 7,34$  Гц, Ar-H); 7,26 (т, 2H,  $J = 7,34$  Гц, Ar-H);

7,16 (д, 2H,  $J = 6,36$  Гц, Ar-H); 6,74 (д, 4H,  $J = 5,87$  Гц, Ar-H); 4,82 (с, 2H, OH); 3,58 (уш. с., 4H, CH<sub>2</sub>); 3,47 (м, 8H, CH<sub>2</sub>); 1,11 (уш. с., 6H, CH<sub>3</sub>). <sup>19</sup>F ЯМР,  $\delta$ , м.д.: -136,74 (д, 4F, Ar-F); -151,31 (д, 4F, Ar-F). ИК-спектр (см<sup>-1</sup>): 3390 (OH); 3072  $\nu$ (C-H<sub>аром.</sub>); 2970  $\nu$ <sub>as</sub>(CH<sub>3</sub>); 2928  $\nu$ <sub>as</sub>(CH<sub>2</sub>); 2874  $\nu$ <sub>s</sub>(CH<sub>3</sub>); 1394 (CH); 1599, 1516, 1489 (Ph); 1001, 982 (C-F). УФ-спектр:  $\lambda_{\max} = 434$  нм.

**Методы исследования.** Спектры <sup>1</sup>H и <sup>19</sup>F ЯМР сняты на спектрометре Bruker Advance DRX 500 на частоте 500 МГц при температуре 25 °С в дейтерированном диметилсульфоксиде. Внутренний стандарт – тетраметилсилик и CFCI<sub>3</sub> соответственно. ИК-спектры гидроксиэтилированных диаминов регистрировали с помощью ИК-спектрометра с Фурье преобразованием “TENSOR 37” в области поглощения 400–4000 см<sup>-1</sup> в таблетках КВг. УФ-спектры сняты на приборе Specord 210 (Analytikjena) в растворе ДМФА.

Квантово-химические расчеты гиперполяризуемости ГДА-I – ГДА-VI выполняли с помощью полуэмпирических AM1/FF (Austin Model-1/finite field) расчетов в программном пакете HyperChem 7,0 согласно уравнению, приведенному в работе [29]. Сила применяемого электрического поля составляла 0,001 а.и. Для указанных расчетов молекулы исследуемых хромофоров (ГДА-I–ГДА-VI) были оптимизированы в программе HyperChem 7,0 с использованием полуэмперического метода AM1 и алгоритма Полака-Рибера (сопряженных градиентов) с RMS градиента 0,01 ккал/(Å·моль). Для сокращения времени, необходимого для минимизации энергии методом AM1,

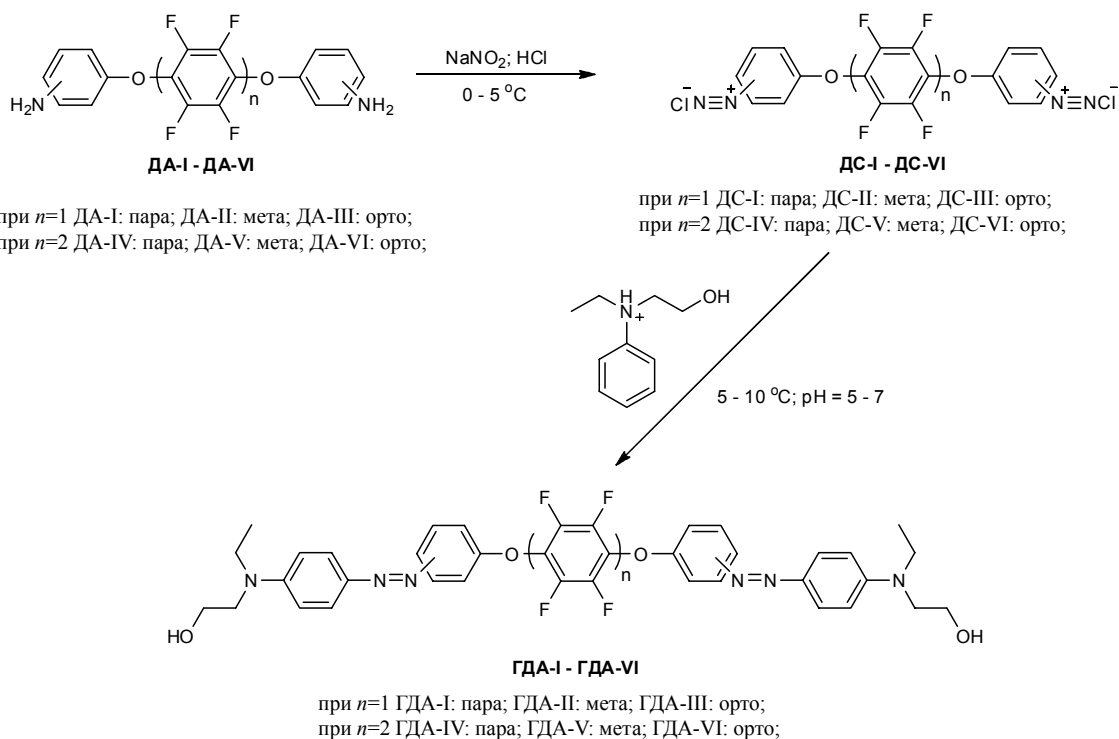
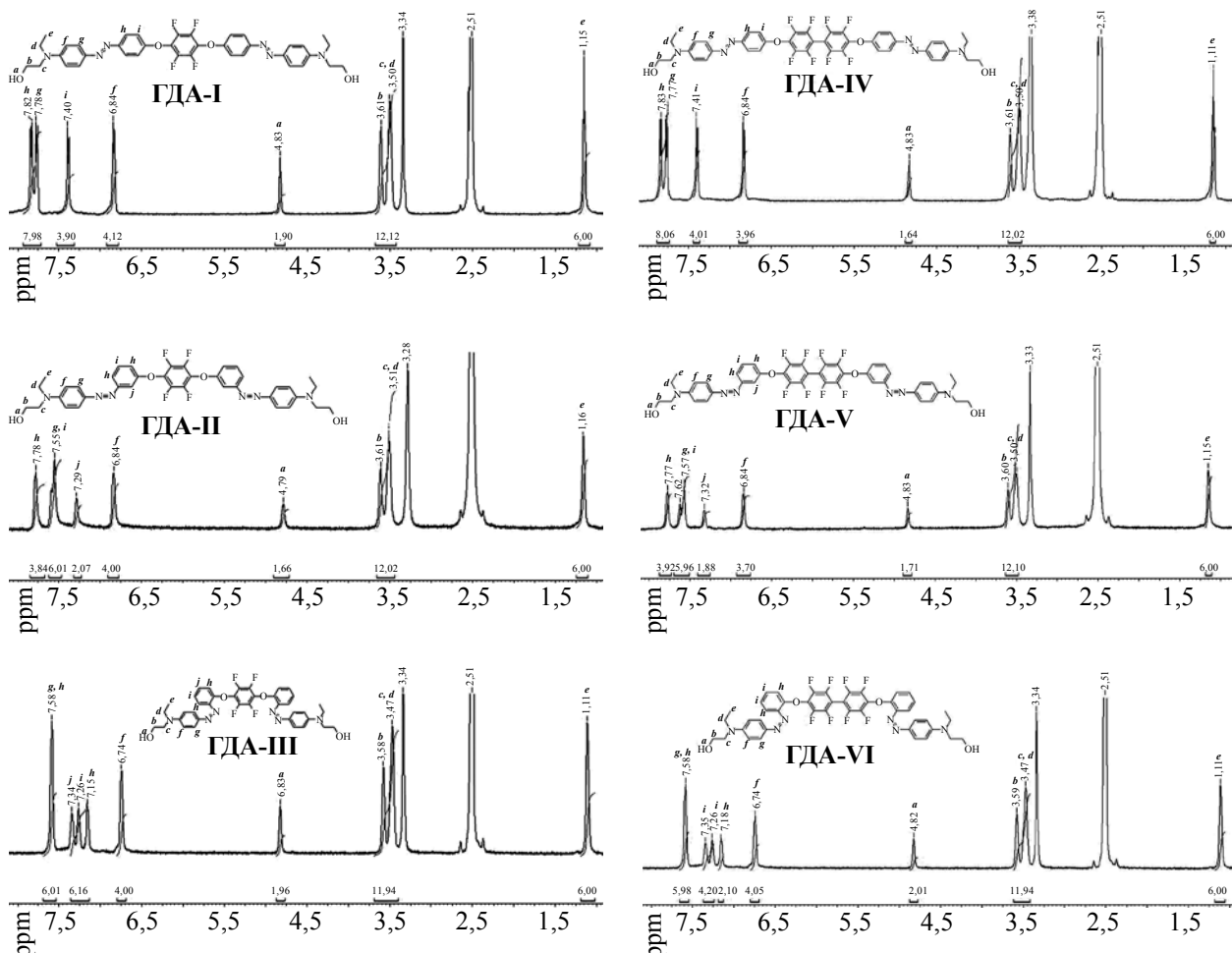


Рис. 1. Схема синтеза фторированных в ядро азосодержащих гидроксиэтилированных диаминов (ГДА-I–ГДА-VI)

Рис. 2.  $^1\text{H}$  ЯМР-спектры фторированных в ядро ГДА-I–ГДА-VI

использовали предварительную оптимизацию геометрии исследуемых соединений методом молекулярной механики (MM+).

#### Результаты исследования и их обсуждение.

В синтезируемых фторсодержащих азомономерах выбор алифатических гидроксильных групп обусловлен их относительно высокой нуклеофильной реакционной способностью и необходимостью сохранения электронной конфигурации мономера при встраивании его в полимер. Благодаря наличию электроноизолирующей этильной группы сохраняется и электронодонорная способность фрагмента в целом в цепи полимера, поскольку после вступления в реакцию гидроксильной группы в зависимости от типа сопреагента возможно образование электроноакцепторного заместителя. Кроме того, выбранный путь синтеза позволяет удлинить цепь сопряжения в получаемых азохромофорах.

Синтез таких хромофоров был осуществлен способом диазотирования диаминов ДА-I–ДА-VI и последующим азосочетанием полученных диазониевых солей ДС-I–ДС-VI с 2-[этил(фенил)амино]этанолом:

О прохождении реакции азосочетания диазониевых

солей (ДС-I–ДС-VI) с 2-[этил(фенил)амино]этанолом свидетельствует исчезновение в  $^1\text{H}$  ЯМР спектрах полученных ГДА-I–ГДА-VI сигнала, характерного для протонов  $\text{NH}_2$ -группы исходных диаминов (ДА-I–ДА-VI). Также в спектрах  $^1\text{H}$  ЯМР (рис. 2) синтезированных соединений протоны гидроксильных групп (*a*) проявляются в интервале частот 4,79–4,83 м.д. в виде синглетов, однако в случае ГДА-I и ГДА-IV сигналы протонов гидроксильных групп, за счет взаимодействия с двумя протонами соседних метиленовых групп (*b*), расщепляются и проявляются в спектрах в виде триплетов.

Следует отметить, что для всех синтезированных гидроксиэтилированных диаминов наблюдается одинаковая картина расположения сигналов протонов их электронодонорной составляющей. Так, все они содержат сигналы в области 3,58–3,51 м.д., отвечающие протонам метиленовых групп (*b*, *c* и *d*), а сигнал при 1,11–1,15 м.д. указывает на наличие в составе синтезированных соединений метильных групп. Ароматические протоны *f* и *g* электронодонорной составляющей в случае ГДА-I проявляются в спектрах в виде двух дублетов. В случае же ГДА-II, ароматические

протоны *g* проявляются в спектре в виде мультиплета вследствие наложения их сигналов с сигналами протонов *i* оксифенильного фрагмента. Аналогичная картина наблюдается и в случае ГДА-III, где наложение сигналов ароматических протонов *g* и одного из двух протонов *h* приводит к образованию мультиплета. Ароматические протоны *h* и *i* оксифенильной составляющей ГДА-I проявляются двумя дублетами (рис. 2).

Более сложная картина распределения химических сдвигов протонов оксифенильного фрагмента наблюдается в соединениях ГДА-II–ГДА-III, что связано с изомерным расположением азогруппы в их составах. Как отмечалось выше, ароматический протон *i* ГДА-II проявляется в спектре мультиплетом в результате наложения с сигналом протона *g*. Протоны *h* и *j* проявляются в спектре в виде дублета и синглета соответственно. Оксифенильные протоны *h* и *i* в спектре ГДА-III смешаются в более слабую область и, накладываясь на сигнал протона *g*, образует мультиплет. Это является результатом перераспределения их электронной плотности из-за взаимодействия одного из протонов *h* с атомами фтора. Второй протон *h* проявляется индивидуальным сигналом в виде дублета при 7,15 м.д. К тому же, неэквивалентность одного из протонов *h* приводит к неэквивалентности протонов *i*, которые образуют два триплета при 7,34 и 7,26 м.д. соответственно. Абсолютно аналогичная картина наблюдается и в <sup>1</sup>H ЯМР спектрах ГДА-IV – ГДА-VI, что объясняется практически идентичным строением этих соединений (рис. 2). Однако, благодаря более сильным электроноакцепторным свойствам октафторбифениленового фрагмента сигналы некоторых протонов ГДА-IV–ГДА-VI смешены в более слабое электромагнитное поле по сравнению с таковыми ГДА-I–ГДА-III.

В спектрах <sup>19</sup>F ЯМР соединений ГДА-I–ГДА-III содержится по одному синглету от четырех эквивалентных атомов фтора фрагмента ТФБ, тогда как в спектрах ГДА-IV–ГДА-VI содержится по два дублета,

отвечающих четырем атомам фтора фрагмента ОФБ в *мета*- и *ортоположениях*.

В ИК-спектрах синтезированных мономеров содержатся широкие полосы поглощения в диапазоне частот 3292–3400 см<sup>-1</sup>, которые свидетельствуют о наличии в их составе гидроксильных групп (рис. 3). Валентные ароматические колебания связей С–Н представлены в спектрах в виде частот в области 3070 см<sup>-1</sup>. О наличии метильных групп в ИК-спектрах этих соединений свидетельствуют полосы поглощения в интервале значений 2952–2972 и 2862–2882 см<sup>-1</sup>, которые отвечают валентным асимметричным и симметричным колебаниям связей С–Н метильных групп соответственно. Метиленовые группы проявляются в ИК-спектрах полосами поглощения вблизи 2926 см<sup>-1</sup>, которые отвечают валентным асимметричным колебаниям связей С–Н метиленовых групп. Перфторированные фрагменты ГДА-I–ГДА-VI удалось идентифицировать по наличию расщепленной полосы в области 1000–1010 см<sup>-1</sup>, которая соответствует симметричным и асимметричным колебаниям связи С–F фрагментов ТФБ и ОФБ.

Согласно данным УФ-спектроскопии (рис. 4), максимум поглощения ( $\lambda_{\text{макс}}$ ) ГДА-I–ГДА-III находится в интервале значений 432–442 нм, что соответствует  $\pi-\pi^*$  электронным переходам азобензольных хромофоров. При введении в состав хромофоров более сильного электроноакцепторного ОФБ фрагмента (ГДА-IV–ГДА-VI) максимум поглощения смещается в коротковолновую область спектра 418–434 нм (гипсохромный сдвиг). Следует ожидать, что аналогичные спектральные характеристики будут иметь и полимеры на основе исследуемых мономеров. Это связано с тем, что ковалентное присоединение хромофора к полимеру не оказывает существенного влияния на положение максимума полосы поглощения хромофорного фрагмента в УФ-спектрах по сравнению с индивидуальными азомономерами [13, 14].

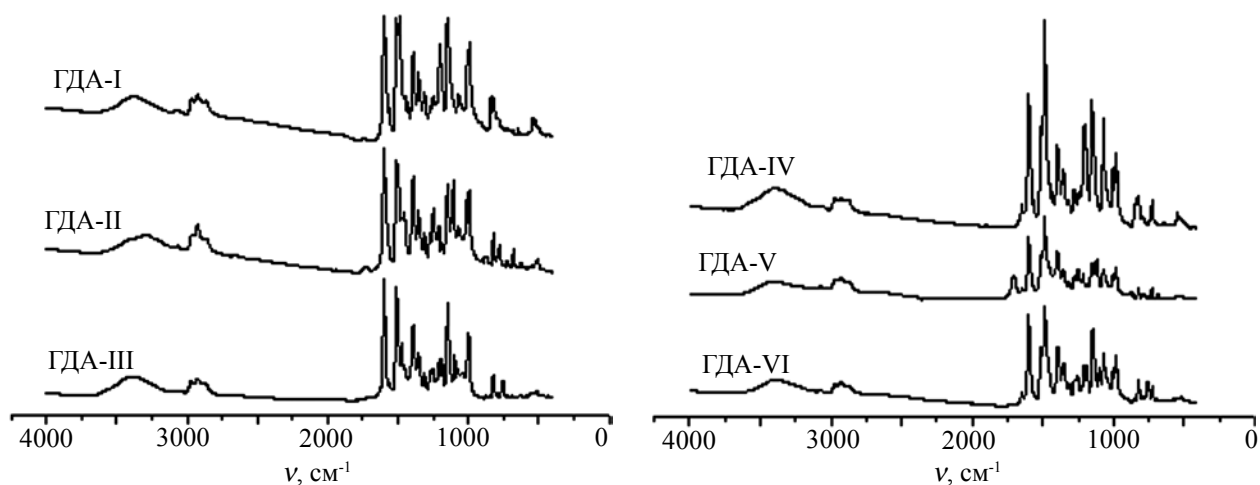


Рис. 3. ИК-спектры фторированных в ядро ГДА-I–ГДА-VI

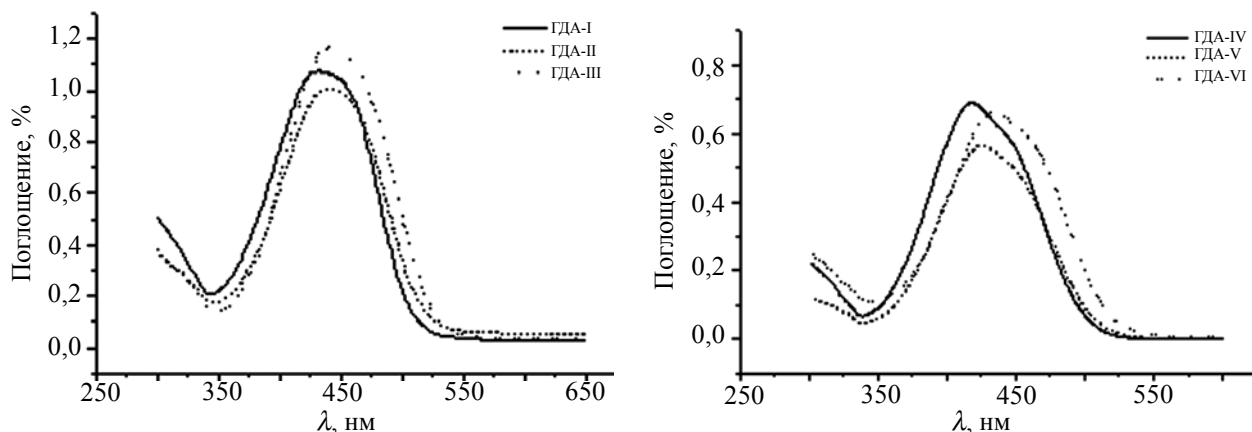


Рис. 4. УФ-спектры фторированных в ядро ГДА-I–ГДА-VI

Синтезированные ГДА-I–ГДА-VI представляют собой окрашенные порошки, которые хорошо растворимы в ДМФА, ДМАА, ДМСО и диоксане).

Квантово-химическими методами были рассчитаны значения  $\beta$  полученных соединений ГДА-I–ГДА-VI. Проведенные расчеты показали, что все синтезированные мономеры характеризуются достаточно высокими значениями  $\beta$  и тем самым могут быть использованы для получения на их основе полимеров с НЛО свойствами. Так, величины коэффициентов  $\beta$  (таблица) для всех хромофоров находятся в интервале значений  $(21,59–26,14) \cdot 10^{-30}$  э.с.е.

Как видно из приведенных данных, природа электроноакцепторной составляющей ГДА-I–ГДА-VI главным образом предопределяет значения их молекулярной гиперполяризуемости. Так, значения  $\beta$  соединений ГДА-IV–ГДА-VI, которые содержат в своем составе в качестве электроноакцепторной составляющей фрагменты ОФБ, значительно выше, чем у ГДА-I–ГДА-III, функцию электроноакцептора в составе которых выполняет фрагмент ТФБ. Это объясняется тем, что фрагмент ОФБ обладает более сильными электроноакцепторными свойствами и поэтому происходит более эффективное смещение  $\pi$ -электронов от электронодонора к электроноакцептору.

Помимо природы электроноакцепторной составляющей влияние на молекулярную гиперполяризуемость азохромофоров оказывает и изомерное расположение азогрупп в их составе (таблица). Так, в рядах ГДА-I–ГДА-III и ГДА-IV–ГДА-VI наблюдается четкая тенденция снижения коэффициента  $\beta$  в зависимости от изомерного расположения азогрупп в их составе.

Таблица. Значения коэффициентов  $\beta$  ГДА-I–ГДА-VI

Азохромофор	$\beta \cdot 10^{-30}$ , э.с.е
ГДА-I	22,87
ГДА-II	22,53
ГДА-III	21,59
ГДА-IV	26,14
ГДА-V	25,44
ГДА-VI	24,71

Наиболее высокими значениями  $\beta$  в указанных рядах обладают хромофоры, содержащие азогруппы в *пара*-положении, а наименьшими – в *ортого*-положении. Хромофоры с азогруппами в *мета*-положении занимают промежуточное положение (таблица).

Следует отметить, что высокие значения  $\beta$  азомономеров являются необходимыми, но недостаточными условиями для создания полимерного материала с повышенными НЛО свойствами второго порядка [1]. Это вызвано тем, что все высокоактивные хромофоры обладают высокими дипольными моментами, влекущими за собой сильные диполь–дипольные взаимодействия. Последнее может препятствовать оптимальной упаковке хромофоров и приводить к понижению коэффициента  $d_{33}$  [1, 4, 14, 30]. Очевидно, изомерное расположение азогрупп в соединениях ГДА-I–ГДА-VI должно сказываться на процессах формирования асимметричной структуры и тем самым на свойствах полимерного материала. Эффективность такого подхода в регулировании химических и физико-химических свойств как мономеров (ТФБ- и ОФБ-содержащих бисфенолов и диаминов), так и полимеров на их основе (полиуретановые эфиры) была продемонстрирована нами ранее [31–34]. Следовательно, можно ожидать, что изменение типа электроноакцепторной составляющей (ТФБ и ОФБ) и изомерии азогрупп в составе синтезированных гидроксиэтилированных диаминов также позволит регулировать и НЛО свойства полимеров на их основе.

Таким образом, разработаны способы синтеза фотопротивленных в ядро дигидроксилсодержащих азохромофоров V-типа с изомерным расположением азогрупп в их составе. Показана возможность целенаправленного изменения значений  $\beta$  путем вариации электроноакцепторной составляющей (фрагменты ТФБ и ОФБ) и изомерии азогрупп в их составе. Наличие перфторированных фрагментов с различным содержанием атомов фтора открывает возможность получения на их основе полимеров с низкими оптическими потерями и показателями преломления, а также с улучшенной термической стойкостью.

## Литература

1. Shevchenko V.V., Sidorenko A.V., Bliznyuk V.N., Tkachenko I.M., Shekera O.V. // Polymer Sci. Part. A. – 2013. – **55**, № 1. – P. 1-31.
2. Kim T.-D., Lee K.-S., Jeong Y.H., Jo J.H., Chang S. // Synthetic Metals. – 2001. – **117**, № 1–3. – P. 307-309.
3. Tasaganva R.G., Kariduraganavar M.Y., Inamdar S.R. // Synthetic Metals. – 2009. – **159**, № 17–18. – P. 1812-1819.
4. Caruso U., Casalboni M., Fort A., Fusco M., Panunzi B., Quatela A., Roviello A., Sarcinelli F. // Optical Materials. – 2005. – **27**, № 12. – P. 1800-1810.
5. Molecules in Physics, Chemistry and Biology / Ed by. Maruani.J. - Dordrecht: Kluwer Acad. Publ., 1988. - V. 2.
6. Tambe S.M., Tasaganva R.G., Jogul J.J., Castiglione D.C., Kariduraganavar M.Y. // J. of Applied Polymer Sci. – 2009. – **114**, № 4. – P. 2291-2300.
7. Fusco S., Centore R., Riccio P., Quatela A., Stracci G., Archetti G., Kuball H.G. // Polymer. – 2008. – **49**, № 1. – P. 186-191.
8. No H.J., Jang H.-N., Jin Cho Y., Lee J.-Y. // J. of Polymer Sci. Part A: Polymer Chem. – 2010. – **48**, № 5. – P. 1166-1172.
9. No H.J., Cho Y.J., Lee J.-Y. // Molecular Crystals and Liquid Crystals. – 2010. – **520**, № 1. – P. 179/[455]-185/[461].
10. Li Z.A., Zeng Q., Li Z., Dong S., Zhu Z., Li Q., Ye C., Di C.A., Liu Y., Qin J. // Macromolecules. – 2006. – **39**, № 24. – P. 8544-8546.
11. Tsutsumi N., Matsumoto O., Sakai W., Kiyotsukuri T. // Macromolecules. – 1996. – **29**, № 2. – P. 592-597.
12. Ja Lee M., Piao M., Jeong M.-Y., Hae Lee S., Min Kang K., Jeon S.-J., Gun Lim T., Rae Cho B. // J. of Materials Chem. – 2003. – **13**, № 5. – P. 1030-1037.
13. Xie H.-Q., Liu Z.-H., Huang X.-D., Guo J.-S. // Europ. Polymer J. – 2001. – **37**, № 3. – P. 497-505.
14. Li Z.A., Wu W., Ye C., Qin J., Li Z. // The J. of Physical Chem. Part B. – 2009. – **113**, № 45. – P. 14943-14949.
15. Li Z.A., Dong S., Yu G., Li Z., Liu Y., Ye C., Qin J. // Polymer. – 2007. – **48**, № 19. – P. 5520-5529.
16. Xu C., Wu B., Dalton L.R., Ranon P.M., Shi Y., Steier W.H. // Macromolecules. – 1992. – **25**, № 24. – P. 6716-6718.
17. Li Q., Li Z., Ye C., Qin J. // The J. of Physical Chem. Part B. – 2008. – **112**, № 16. – P. 4928-4933.
18. Li Q., Li Z., Zeng F., Gong W., Li Z.A., Zhu Z., Zeng Q., Yu S., Ye C., Qin J. // The J. of Physical Chem. Part B. – 2006. – **111**, № 3. – P. 508-514.
19. Park C.K., Zieba J., Zhao C.F., Swedek B., Wijekoon W.M.K.P., Prasad P.N. // Macromolecules. – 1995. – **28**, № 10. – P. 3713-3717.
20. Wu Y., Natansohn A., Rochon P. // Macromolecules. – 2001. – **34**, № 22. – P. 7822-7828.
21. Jecs E., Kreicberga J., Kampars V., Jurgis A., Rutkis M. // Optical Materials. – 2009. – **31**, № 11. – P. 1600-1607.
22. Kleinpeter E., Bolke U., Kreicberga J. // Tetrahedron. – 2010. – **66**, № 25. – P. 4503-4509.
23. Sekkat Z., Yasumatsu D., Kawata S. // The J. of Physical Chem. Part B. – 2002. – **106**, № 48. – P. 12407-12417.
24. Itoh M., Harada K., Matsuda H., Ohnishi S., Parfenov A., Tamaoki N., Yatagai T. // J. of Physics. Part D: Applied Physics. – 1998. – **31**, № 5. – P. 463.
25. Yuxia Z., Zhao L., Ling Q., Jianfen Z., Jiayun Z., Yuquan S., Gang X., Peixian Y. // Europ. Polymer J. – 2001. – **37**, № 3. – P. 445-449.
26. Casalboni M., Caruso U., De Maria A., Fusco M., Panunzi B., Quatela A., Roviello A., Sarcinelli F., Sirigu A. // J. of Polymer Sci. Part A: Polymer Chem. – 2004. – **42**, № 12. – P. 3013-3022.
27. Kang J.-W., Kim J.-P., Lee W.-Y., Kim J.-S., Lee J.-S., Kim J.-J. // J. Lightwave Technol. – 2001. – **19**, № 6. – P. 872.
28. Бородин А.Е., Маличенко Б.Ф. // Докл. АН УССР. Сеп. Б. – 1978. – № 8. – P. 710.
29. Thanthiriwatte K.S., Nalin De Silva K.M. // J. of Molecular Structure: THEOCHEM. – 2002. – **617**, № 1–3. – P. 169-175.
30. Carella A., Casalboni M., Centore R., Fusco S., Noce C., Quatela A., Peluso A., Sirigu A. // Optical Materials. – 2007. – **30**, № 3. – P. 473-477.
31. Шевченко В.В., Ткаченко И.М., Гомза Ю.П., Близнюк В.Н., Шекера О.В. // Полимер. журн. – 2010. – **32**, № 3. – P. 243.
32. Шевченко В.В., Ткаченко И.М., Шекера О.В. // Докл. НАН Украины. – 2009. – № 8. – P. 153.
33. Шевченко В.В., Ткаченко И.М., Кононевич Ю.Н., Сидоренко А.В., Шекера О.В. // Докл. НАН Украины. – 2010. – № 7. – P. 136.
34. Шевченко В.В., Ткаченко И.М., Сидоренко А.В., Шекера О.В. // Докл. НАН Украины. – 2013. – № 3. – P. 130.

Поступила в редакцию 29 марта 2013 г.

## **Азовмісні фторовані в ядро гідроксіетильовані діаміни – мономери для синтезу полімерів з нелінійно-оптичними властивостями**

**В.В. Шевченко, О.В. Сидоренко, І.М. Ткаченко, О.В. Шекера**

Інститут хімії високомолекулярних сполук НАН України  
48, Харківське шосе, Київ, 02160, Україна

*Діазотуванням фторовмісних ізомерних діамінів з подальшим азосполученням з 2-[етил(феніл)аміно]етанолом синтезовані гідроксіетильовані діаміни, що містять у своєму складі азогрупи, фрагменти тетрафторбензолу та октафторбіфенілу. Розраховані значення їх молекулярної гіперполіяризованості і встановлено зв'язок між хімічною будовою та нелінійно-оптичними властивостями фторовмісних азохромофорів.*

**Ключові слова:** мономери, азохромофори, молекулярна гіперполіяризованість, азополімери, нелінійна оптика.

## **Azo-containing core-fluorinated hydroxyethylated diamines - monomers for the synthesis of polymers with nonlinear optical properties**

**V.V. Shevchenko, A.V. Sidorenko, I.M. Tkachenko, O.V. Shekera**

Institute of Macromolecular Chemistry NAS of Ukraine  
48, Kharkivske shause, Kyiv, 02160, Ukraine

*By diazotization of isomeric fluorinated diamines following the azocoupling with 2-[ethyl(phenyl)amino]ethanol hydroxyethylated diamines were synthesized, combining in their composition azo-groups and fragments of tetrafluorobenzene and octafluorobiphenyl. The values of their molecular hyperpolarizability are calculated and the relationship between the chemical structure and nonlinear optical properties of fluorinated azo-containing chromophores is established.*

**Key words:** monomers, azo-chromophores, molecular hyperpolarizability, azo-polymers, nonlinear optics.